Institut für Strukturleichtbau

Forschungsbereich Leichtbau im Bauwesen



Additive Herstellung von Betonfertigteilen mit klinkereffizienten Zementen



Prof. Dr.-Ing. habil. Sandra Gelbrich
Dipl.-Ing. Henrik Funke

Weimar, den 13. November 2025





Forschungsbereich Leichtbau im Bauwesen



Innovative Material- und Technologieentwicklung für die Bauindustrie





Einleitung und Potenziale



Die Bauindustrie 2025 im Wandel

Herausforderungen aktuell

Lösungsansatz = Additive Fertigung



- Steigende Baukosten
- 🧘 Fachkräftemangel
- Hoher Ressourcenverbrauch
- Machsende Nachfrage nach bezahlbarem Wohnraum



3D-Druck mit Beton = schneller, ressourcenschonender, automatisiert



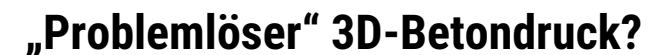
Reduzierter Personalbedarf auf der Baustelle und im Fertigteilwerk



Komplexe Geometrien effizient fertigen



Digitalisierung & Automatisierung in der Bauwirtschaft



MODULARES BAUEN

Ist das realistisch?

Wie ist der aktuelle Stand?

Welche Produkte sind möglich?

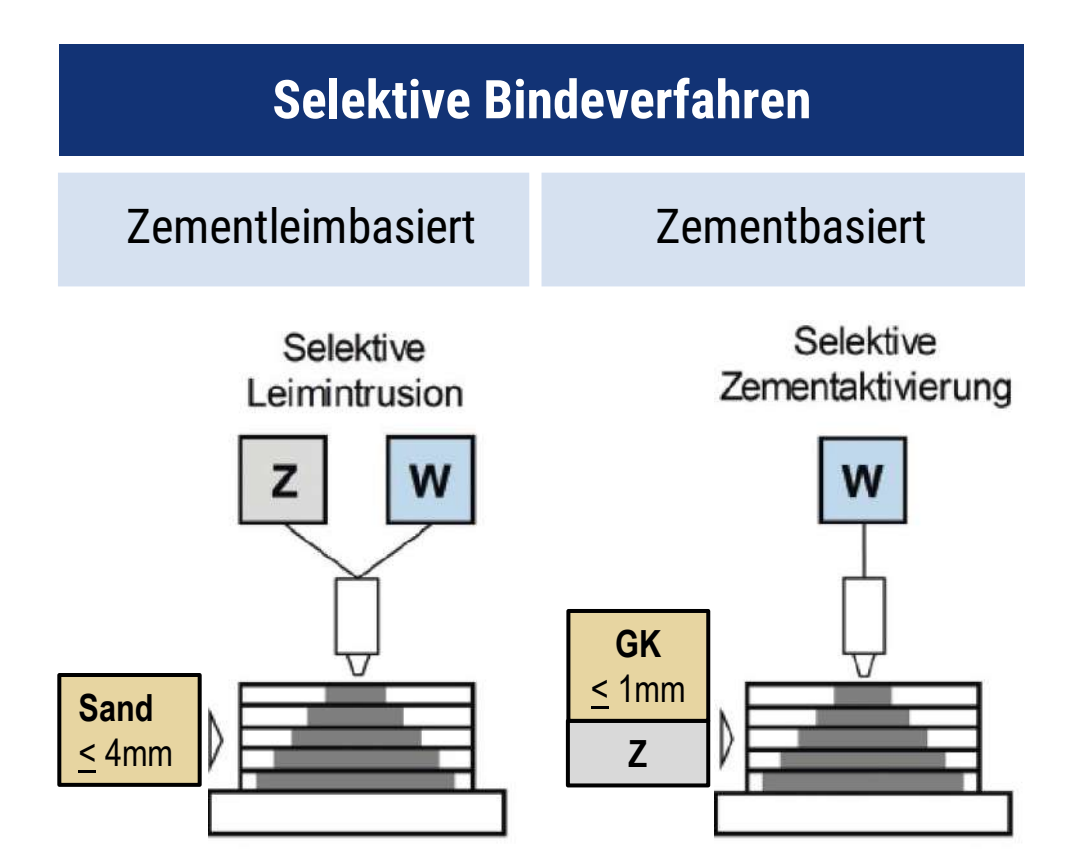








Übersicht additiver Herstellungsverfahren für den Betonbau



GK Gesteinskörnung

Z Zement

W Wasser

Ablegende Verfahren

Betonextrusion

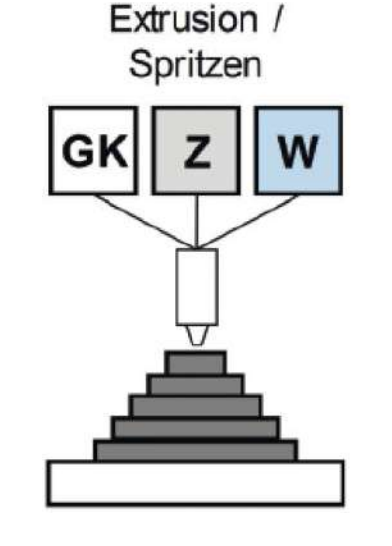
durch Düse

gepumpt und

schichtweise in

Layer abgelegt

Betonspritzen



pneumatischer Austrag mittels Spritzdüse, verdichtet durch Aufprallenergie

Schematische Darstellungen der 3-D-Drucktechniken im Betonbau nach:

[H. Kloft, N. Hack, J. Mainka, L. Brohmann, E. Herrmann, L. Ledderose, D. Lowke: Additive manufacturing in construction: first 3-D-printed reinforced concrete components, Bautechnik 96 (2019), Heft 12



Betonextrusion (3D-Betondruck)



Individualisierte Vor-Ort-Fertigung – 3D-Druck

- 3D-Druck mittels Betonextrusion für Vor-Ort-Bau
- Transportierbare Portalsysteme
- Verarbeitung von Frischbeton aus Fahrmischer oder Vor-Ort-Verarbeitung von Fertigmischungen -> Betonaustrag über große Düsen
- Manuelle Integration von Stahlbewehrungen, Dämmung, Einbauten

Herstellung von Betonfertigteilen mittels Betonextrusion

- Stationärer Fertigung mittels Betonextrusion (TUC Prototyp)
- Schalungsfreie Betonextrusion
- Freiformbar durch Einsatz vor Robotertechnik
- Integration von Bewehrungen: vor, während, nach dem Druck
 - -> vor/während Druck: Kurzfasern, Endlosfasern, Stäbe, Matten
 - -> Einbau nachträglich: Stäbe, Körbe, Matten ...



Quelle: PERI, https://cdn.peri.cloud/.imaging/xlWide/dam/12981b4f-c773-4f0f-98fc-65de58b6d982/77782/3d-betondruck.jpg





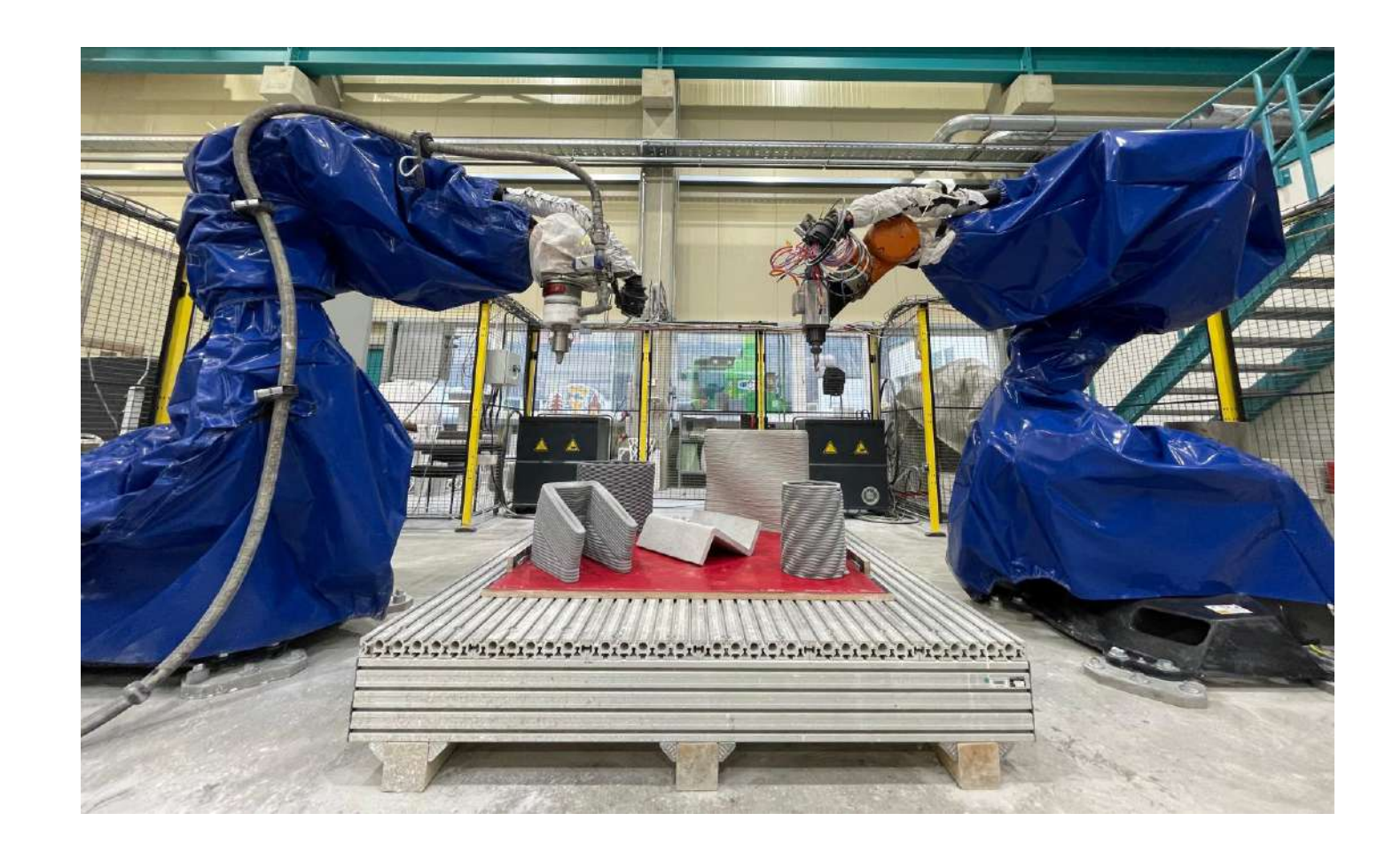


Technologische Basis an der TUC

Betondruck-Komplex mit Nachbearbeitung

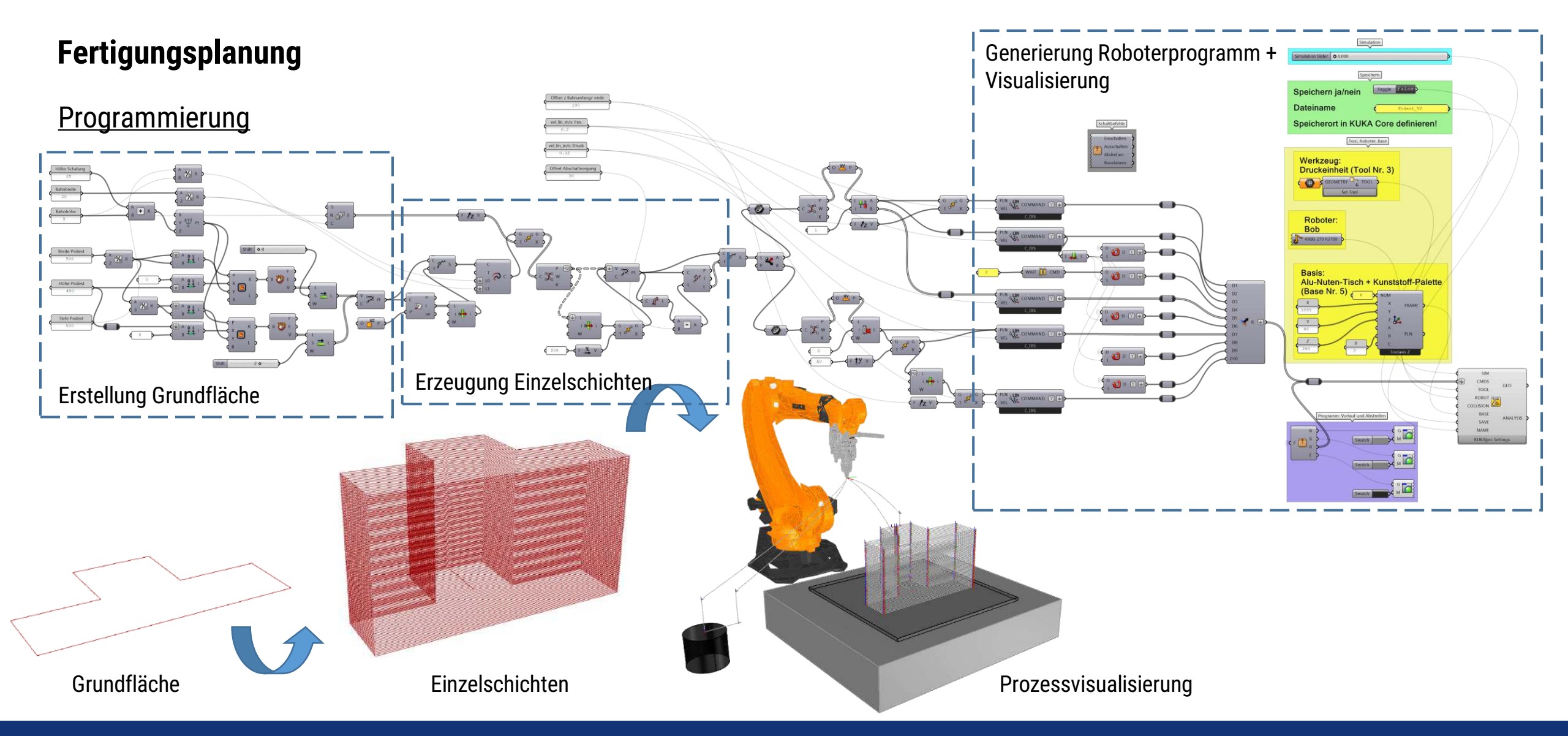
Arbeitsumgebung: Roboarena

- 2 x KUKA KR 90 R2700
 - ⇒ Roboter 1: Betonspritzen und Betonextrusion
 - ⇒ Roboter 2: Fräsen, Faserlegen, Handling (Positionierung von Ankern)
 - ⇒ Arbeitsbereich: ~ 1,50 m
- Betonfördereinheit
 - ⇒ Mischpumpe PFT Bolero
 Schneckengehäuse (Stator),
 Förderschnecke (Rotor)
 Betonbehälter







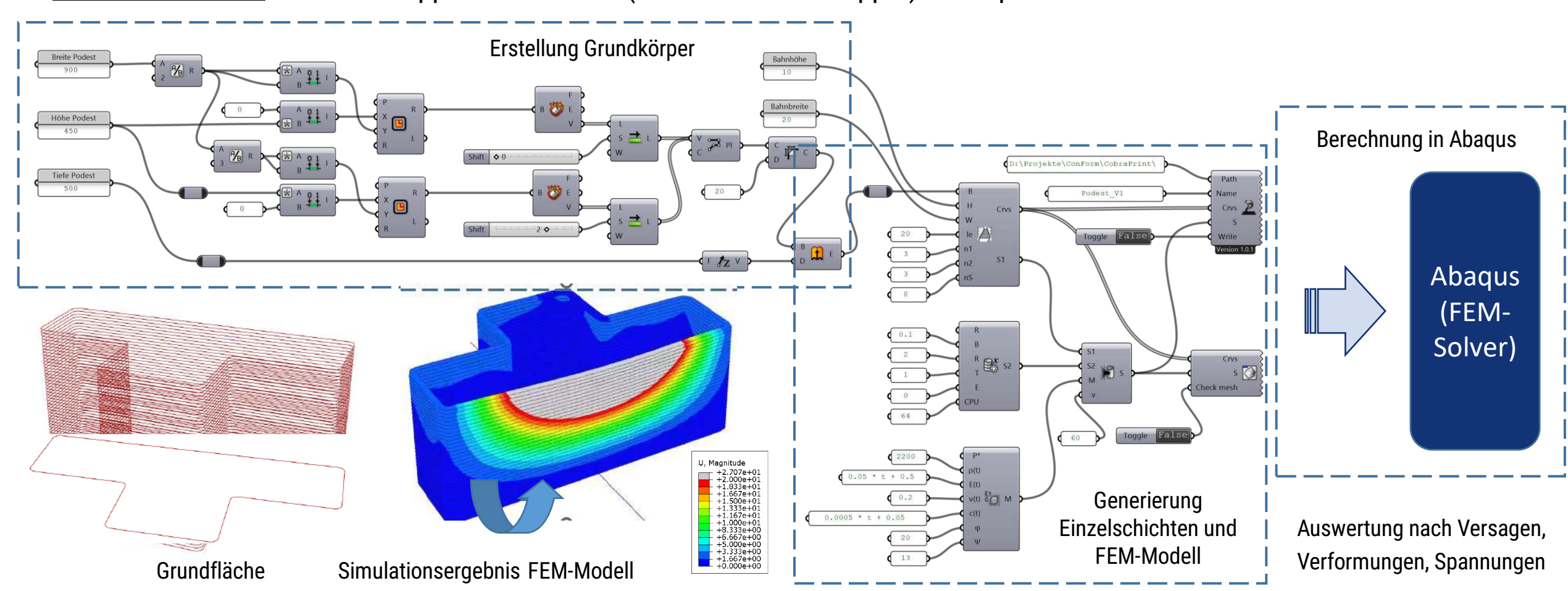






Fertigungsplanung

<u>Prozesssimulation</u> mit Grasshopper + CobraPrint (Add-on für Grasshopper) + Abaqus

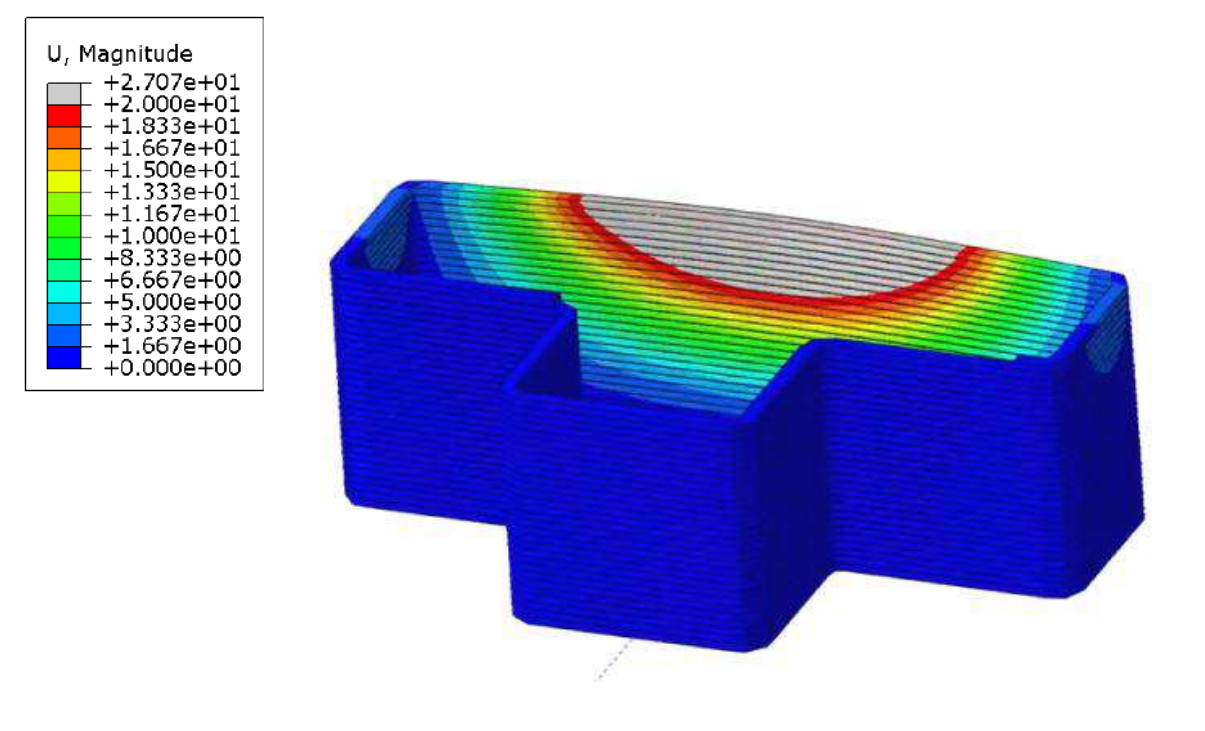






Modellaufbau Grasshopper und Simulation Druckprozess

Vergleich Prozesssimulation und Versuch



Podest: Schichtbreite 20 mm / Schichthöhe 10 mm

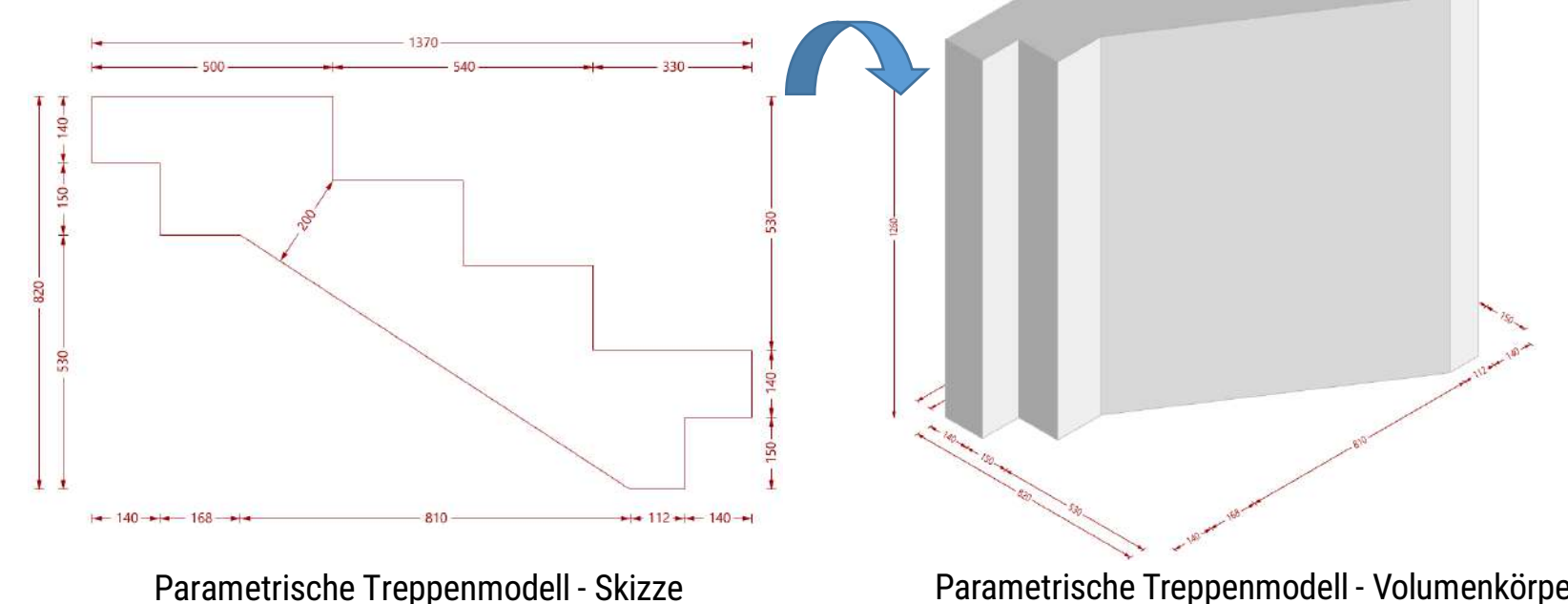






Automatisierte Fertigung einer Stahlbetontreppe mittels Betonextrusion

- -> Reduktion manueller Arbeiten bei gleicher Bauteilqualität
- Erstellung eines parametrischen Modells
- Extrusion der Außenkontur -> "verlorene" Betonschalung
- Pump- und förderbare Betonmischung, Stabilität nach Austrag, Reproduzierbares Erhärtungsverhalten, GK 4 mm



Abgeleitetes Roboterprogramm



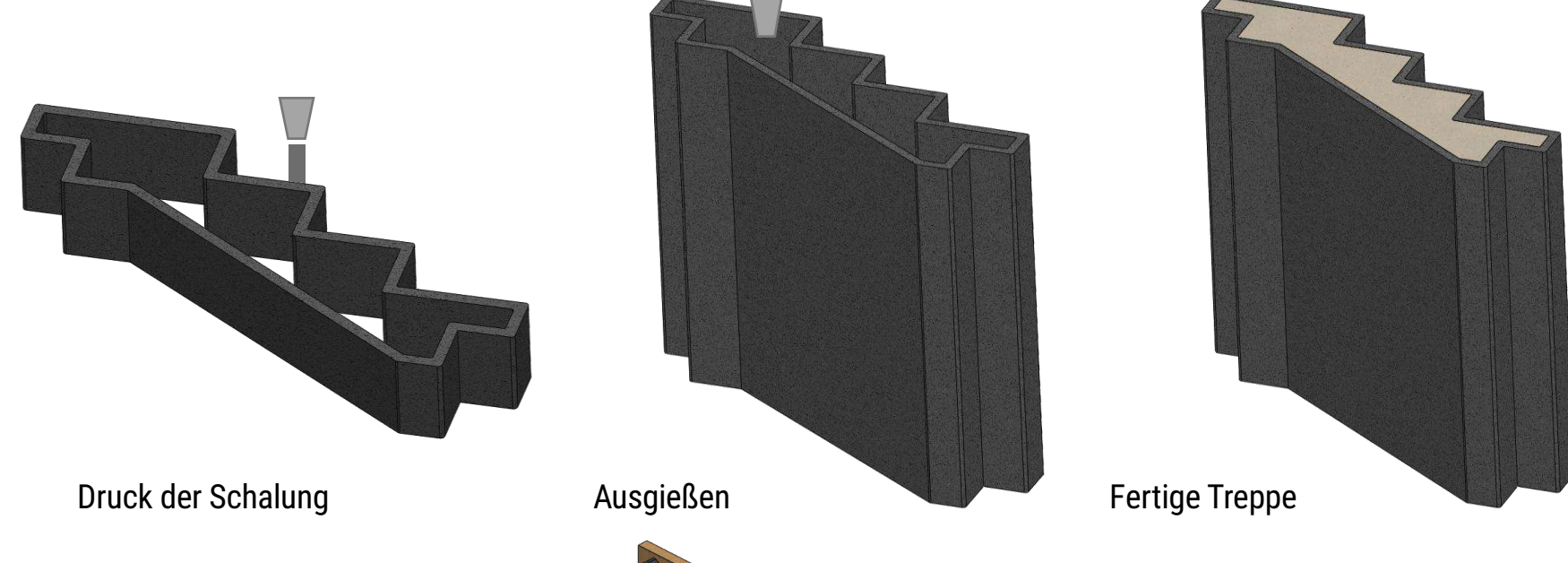


11

Fertigungskonzepte

Variante 1

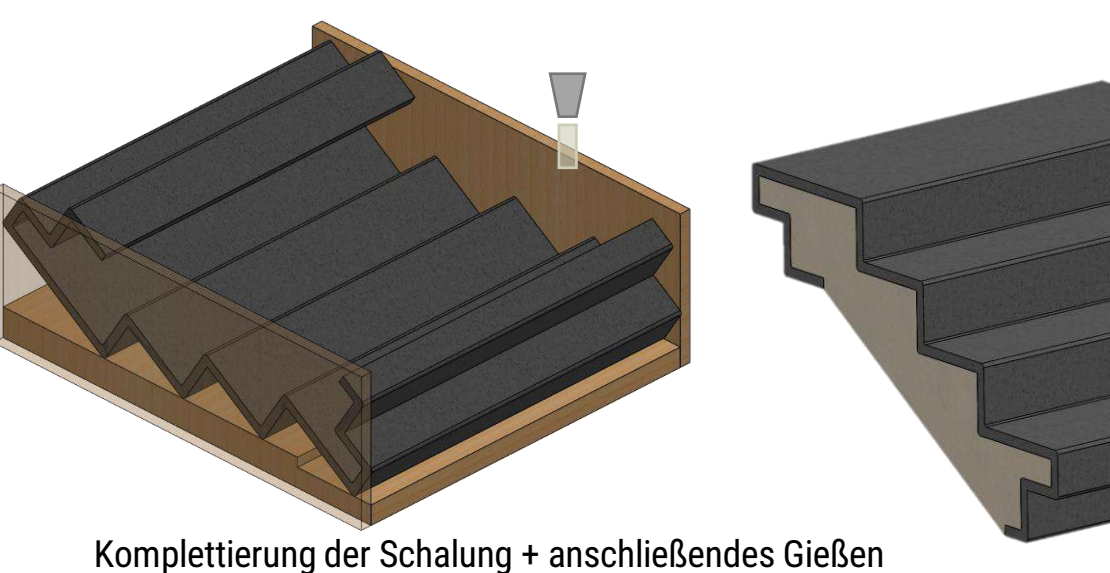
- Additiv gefertigte "verlorene"
 Schalung für gesamte Treppe
- Bewehrungsintegration und Ausgießen der Schalung



Variante 2

Additiv gefertigte
 "verlorene" Schalung
 als *Halbschale* +
 Komplettierung (Kasten)

 Bewehrungsintegration und Ausgießen der Schalung

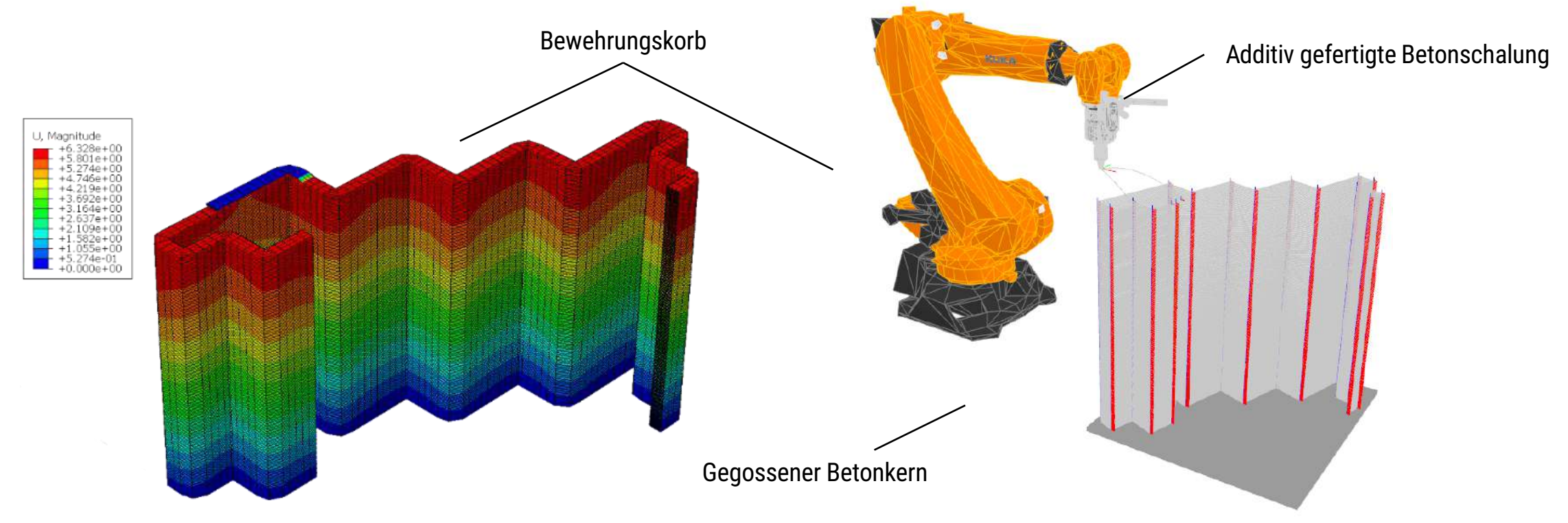






Bewehrungskonzept und Fertigungsplanung

- Additive Fertigung von schlanken Schalungen mit geringen Wandstärken möglich
- Übertragung des Bewehrungskonzept der konventionell hergestellten Treppe
- Fertigungsplanung mithilfe des parametrischen Modells



Prozesssimulation (li.) und Visualisierung der Roboterbewegung (re.) für die Fertigung der verlorenen Treppenschalung





<u>Fertigung großformatiger Probekörper – Referenztreppe</u>

Extrusion der Außenkontur -> Bewehrungsintegration + Fixierung -> Einbau der Gießmischung ggf. Nachbehandlung









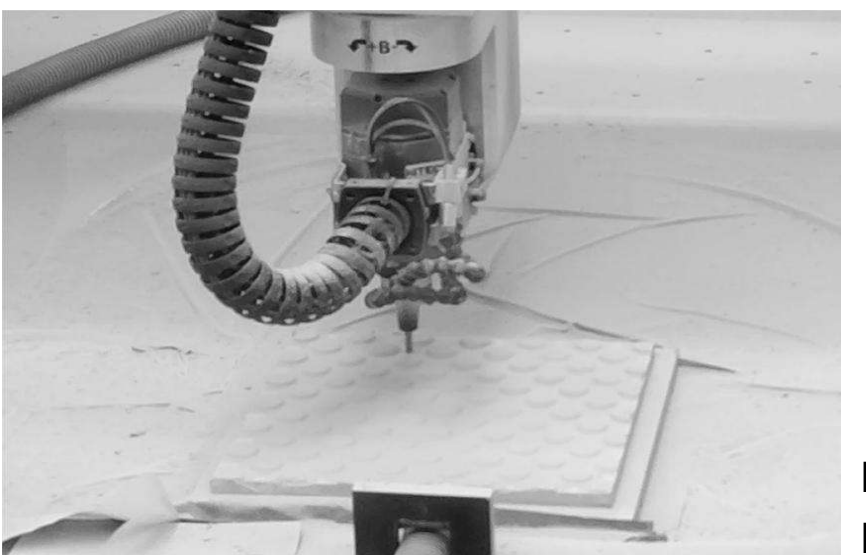




<u>Fertigung großformatiger Probekörper – Referenztreppe</u>







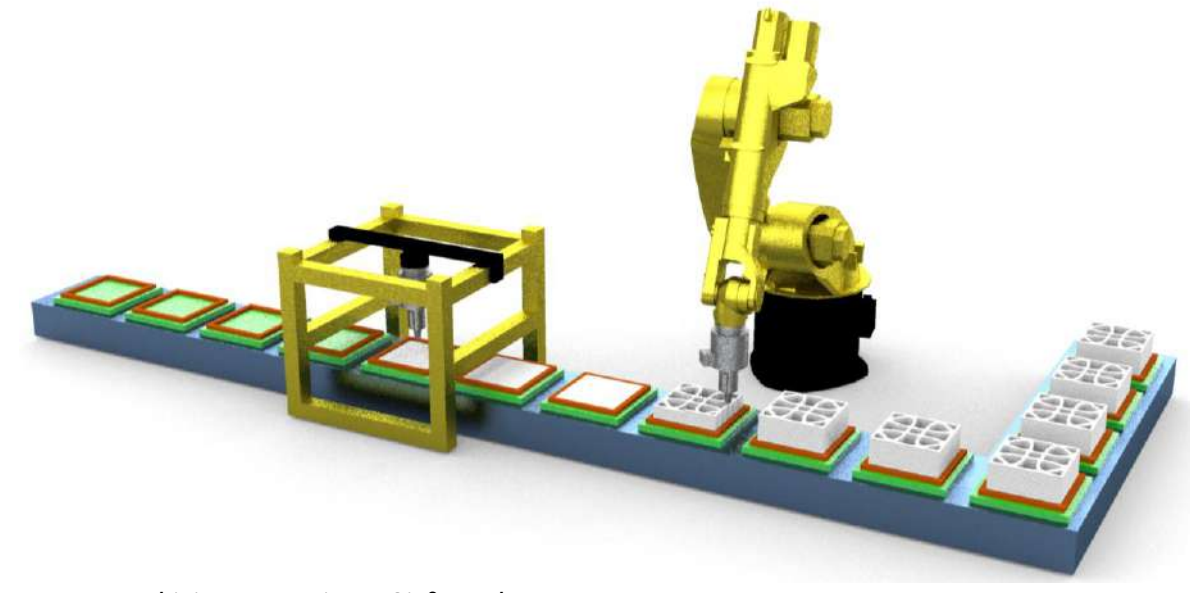
Nachbearbeitung: Frästechnologie





Extrusions-Gieß-Fertigungsstrecke

- Schalungsfeie Bauteilgestaltung
- Designfreiheit
- Kombination von Extrusions- und Gießtechnologie
- Komplexe stabile Betonrezeptur
- Inline-Fertigung



Kombinierte Extrusions-/Gießstrecke



Tisch "rund"



Schwibbogen



Tischtennisplatte



Sitzbank "nierenförmig"

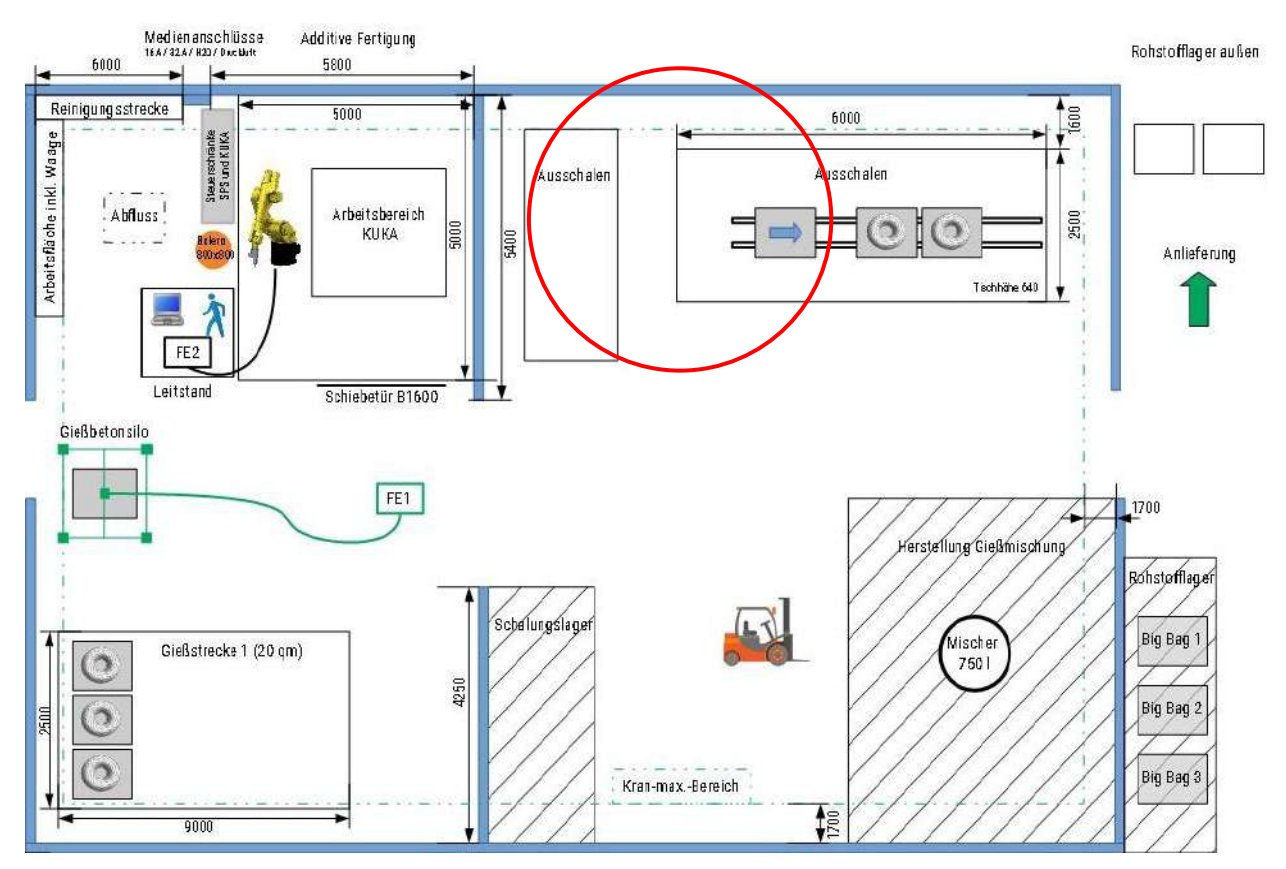






Inline-Fertigung - Technologische Umsetzung

Überführung in eine hybride Fertigungstechnologie



Anlagenschema der prototypischen Versuchsanlage in Geringswalde





Aushärtung und Entschalung





Inline-Fertigung - Angestrebtes Produktportfolio

Möbel und Gestaltungselemente



Designplatten, Designformelemente













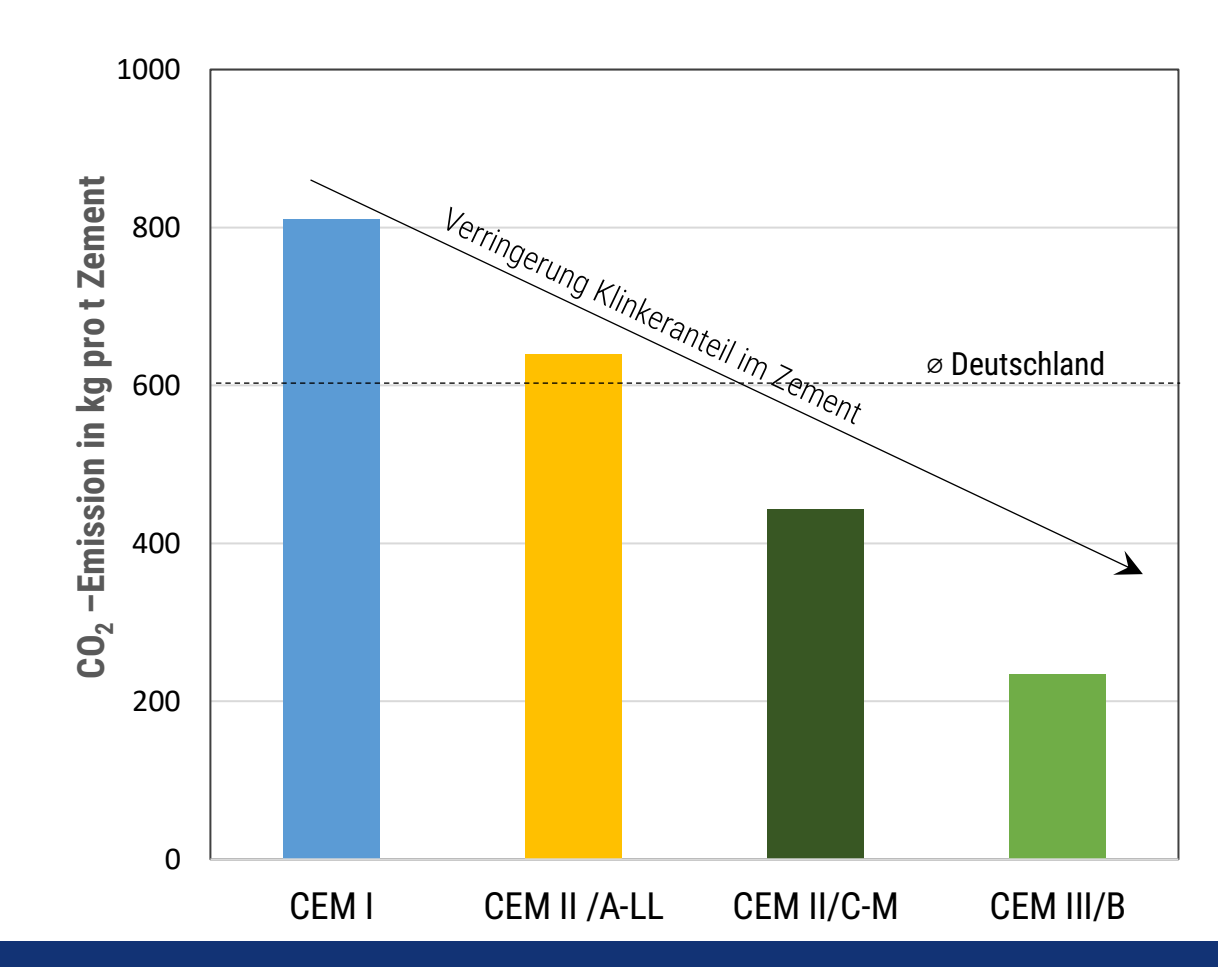


Additive Fertigung mit klinkerreduzierten Zementen

- Verringerung Klinkerfaktor mit inerten und reaktiven Kompositmaterialien (bi- und ternäre Systeme)
- > Früh- vs. Endfestigkeiten (z. B. Nachbehandlung)
- Variation der Grenzzusammensetzung(z. B. variabler w/z) künftig erforderlich
- Einsatz neuer Zusatzmittel für robuste Betone



Resilienz in der Bauindustrie mit neuen Herausforderungen

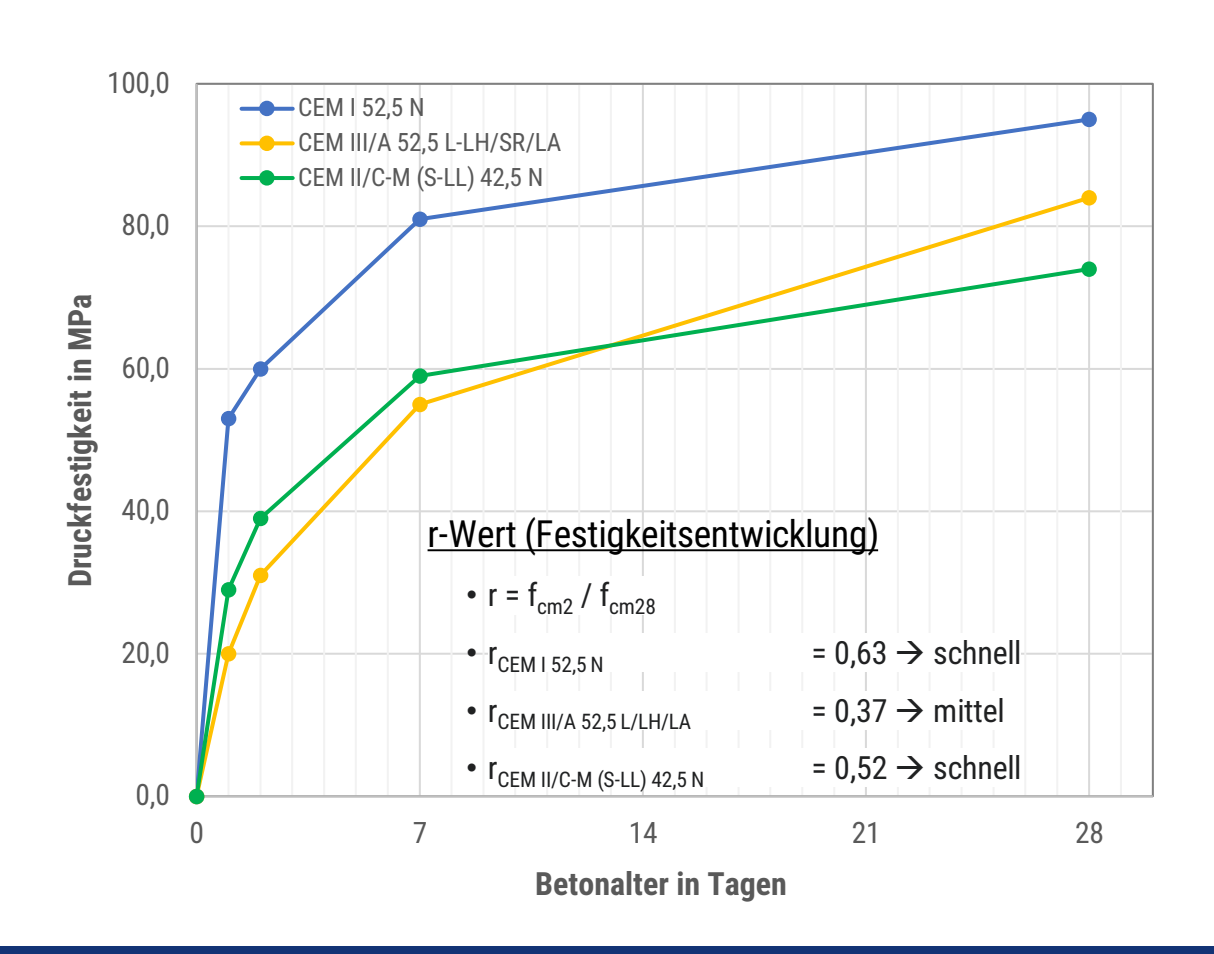


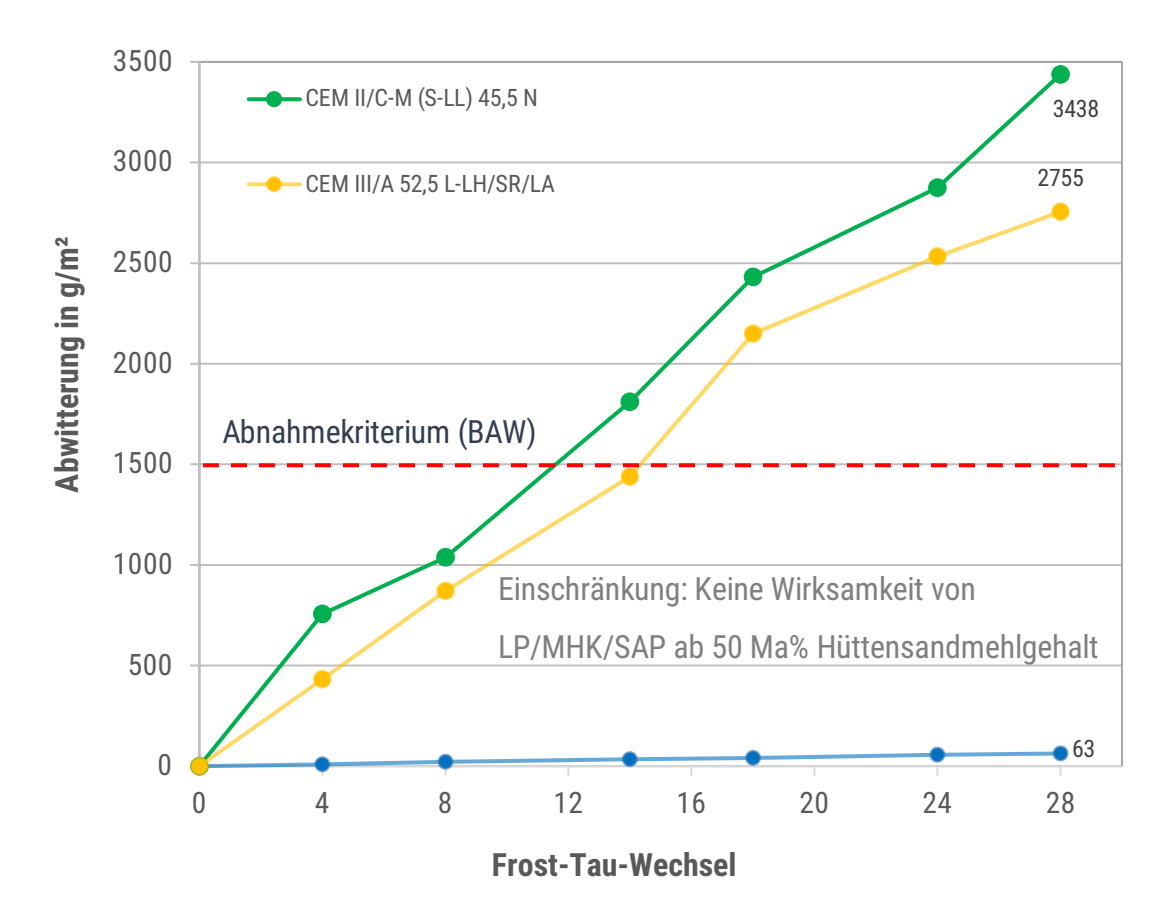




Druckfestigkeit und Frost-Tausalz-Widerstand von klinkereffizienten Zementen

- w/z = 0,43

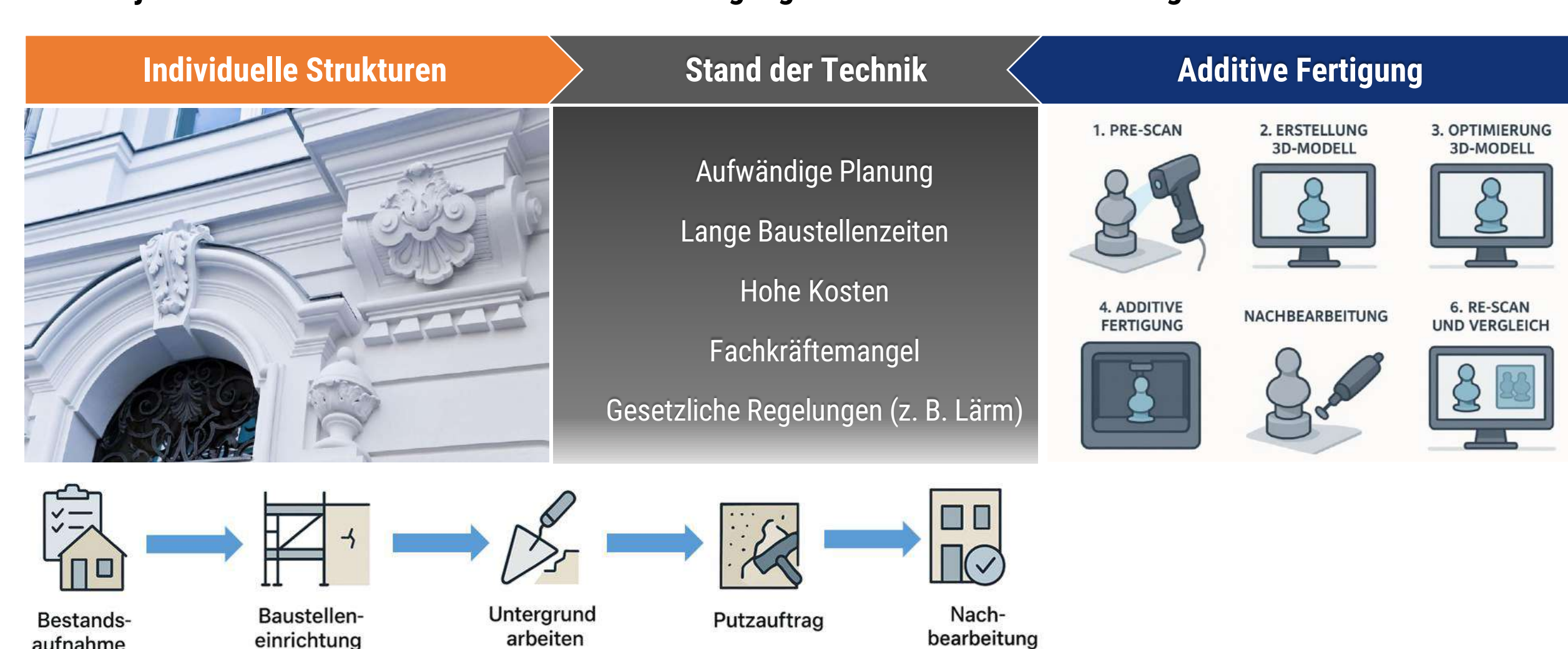








3D-Objekt-Scan mit endkonturnaher additiver Fertigung und Oberflächenbearbeitung



aufnahme





Zusammensetzung Extrusionsbeton

- CEM II/C-M (S-LL) 42,5 N
- Homogene und glatte Frässtruktur

Komponente	
CEM II/C-M (S-LL) 42,5 N	Х
Quarzsand 0,1-2,0 mm	х
Gesteinsmehl	х
Sekundärfließmittel (PCE)	Х
Primärfließmittel (PCE)	х
w/z	0,42



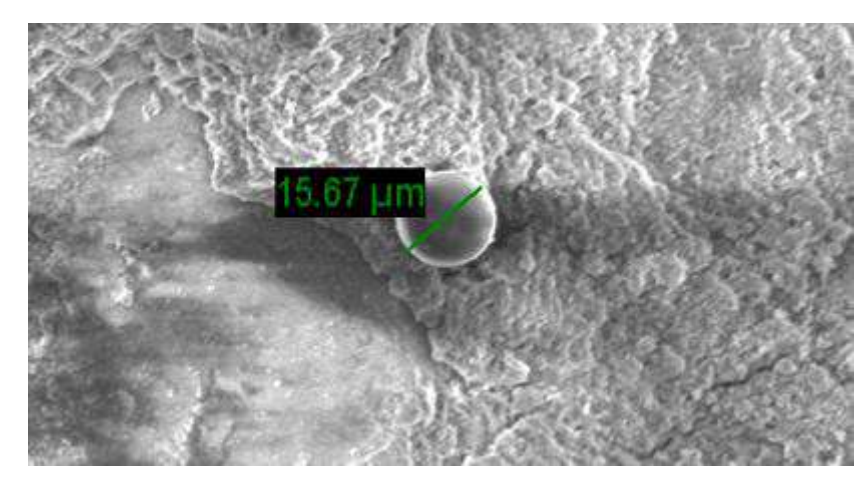
Fräßen des endkonturnahen additiv gefertigten Probekörpers im frischen Zustand



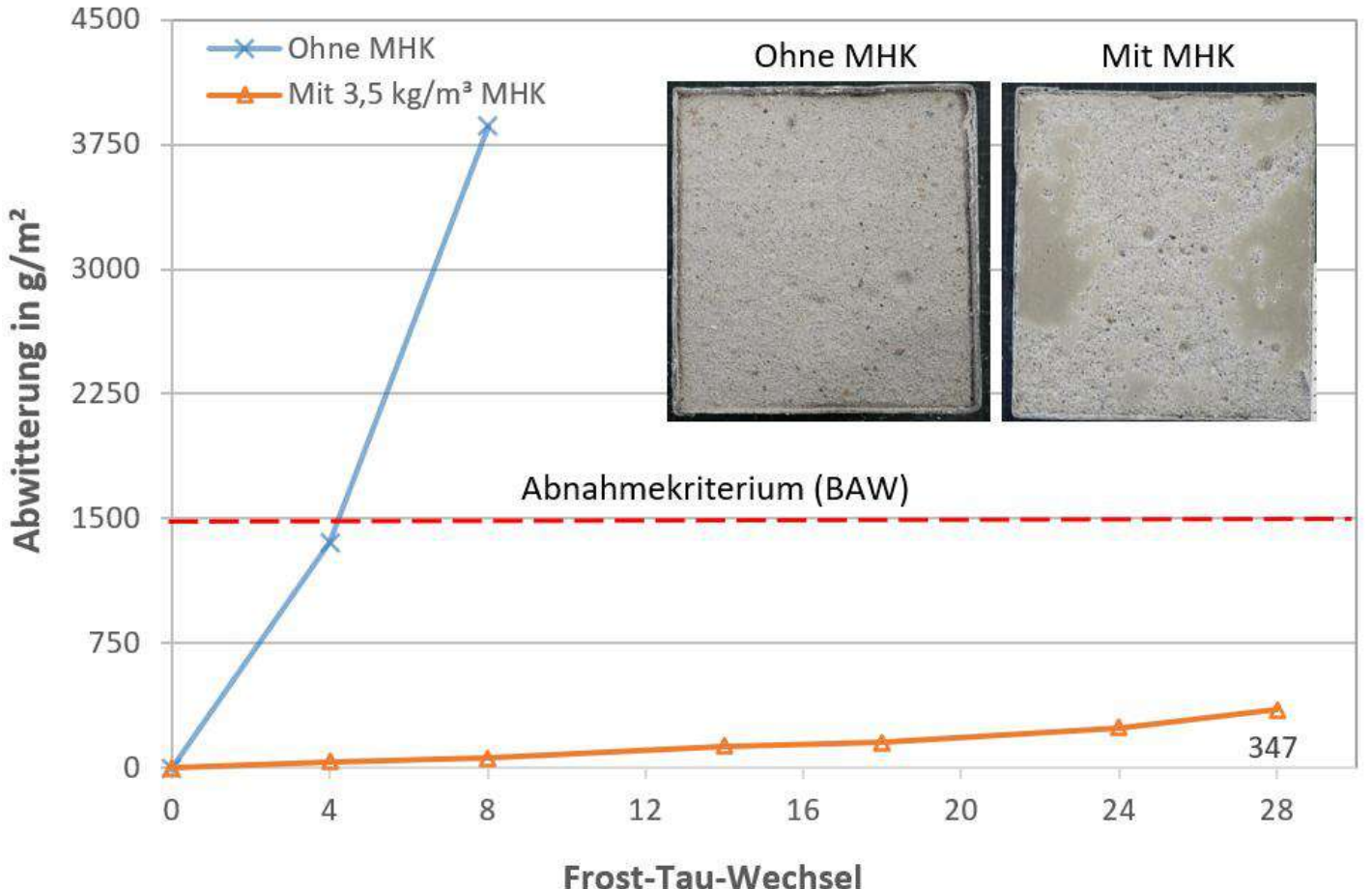


Festbetoneigenschaften Extrusionsbeton

- Klinkerreduzierter Zement CEM II/C-M (S-LL)
 - → Verringerung Klinkergehalt um 50 % ggü. CEM I 🗸
- Druckfestigkeit: 59 MPa (C45/55) ✓
- Frost-Tausalz-Beständigkeit (CDF-Test) ✓



REM-Aufnahme Spritzbeton mit MHK

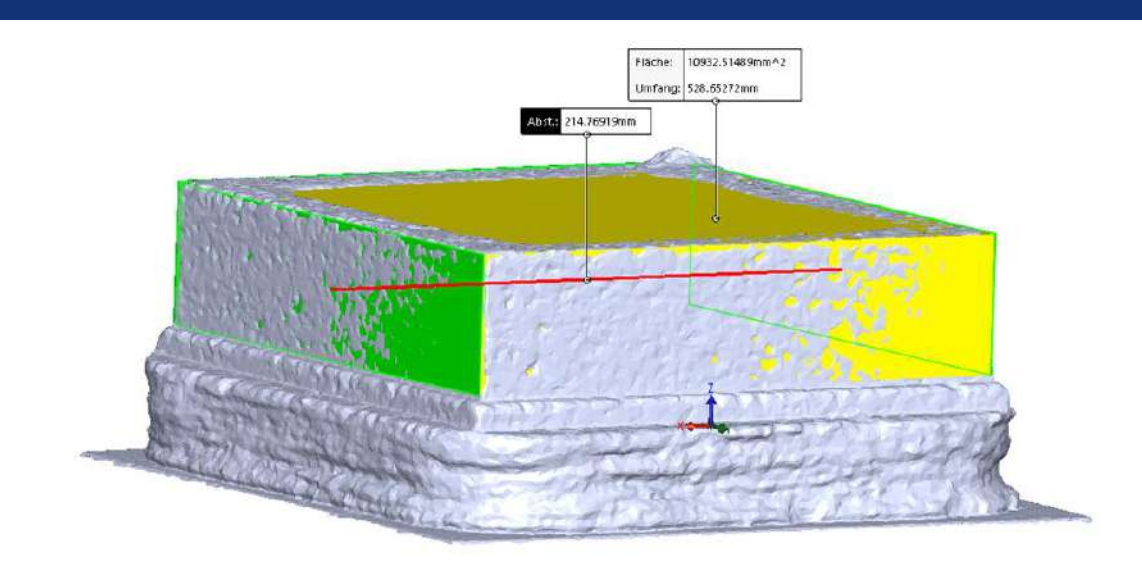






Herstellung Demonstrator

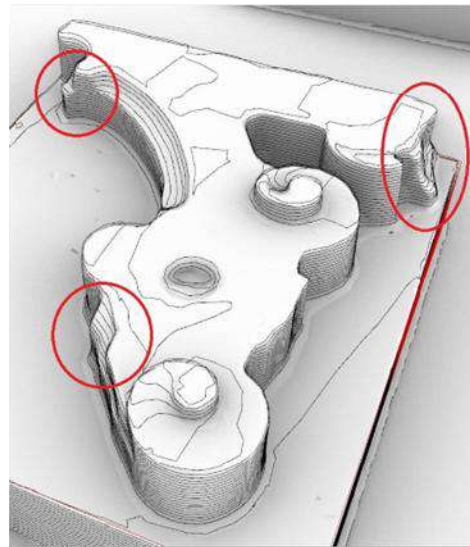
- Zwei Grundmischungen mit Möglichkeit zur Farbgestaltung
- Vergleich Pre- mit Re-Scan → Toleranzabgleich
- Vollständige Planung und Vorfertigung im Fertigteilwerk möglich











Verkürzt dargestellt Prozesskette zur Herstellung eines Demonstrators von der endkonturnahen additiven Fertigung bis zum Re-Scan





Additive Fertigung von Wand- und Deckenmodulen für Modulhäuser

- Extrusion und Spritzen CEM III/B 42,5 N-LH/SR/NA (70 % HS) \rightarrow 305 kg CO₂/t_{Zement}
- Größtkorn 8 mm → Beton nach DIN EN 206/DIN 1045-2
- Beton mit drastisch reduziertem Klinkergehalt und CO₂-Emissionen (-75 %)
 gegenüber bestehenden 3D-Druckmischungen







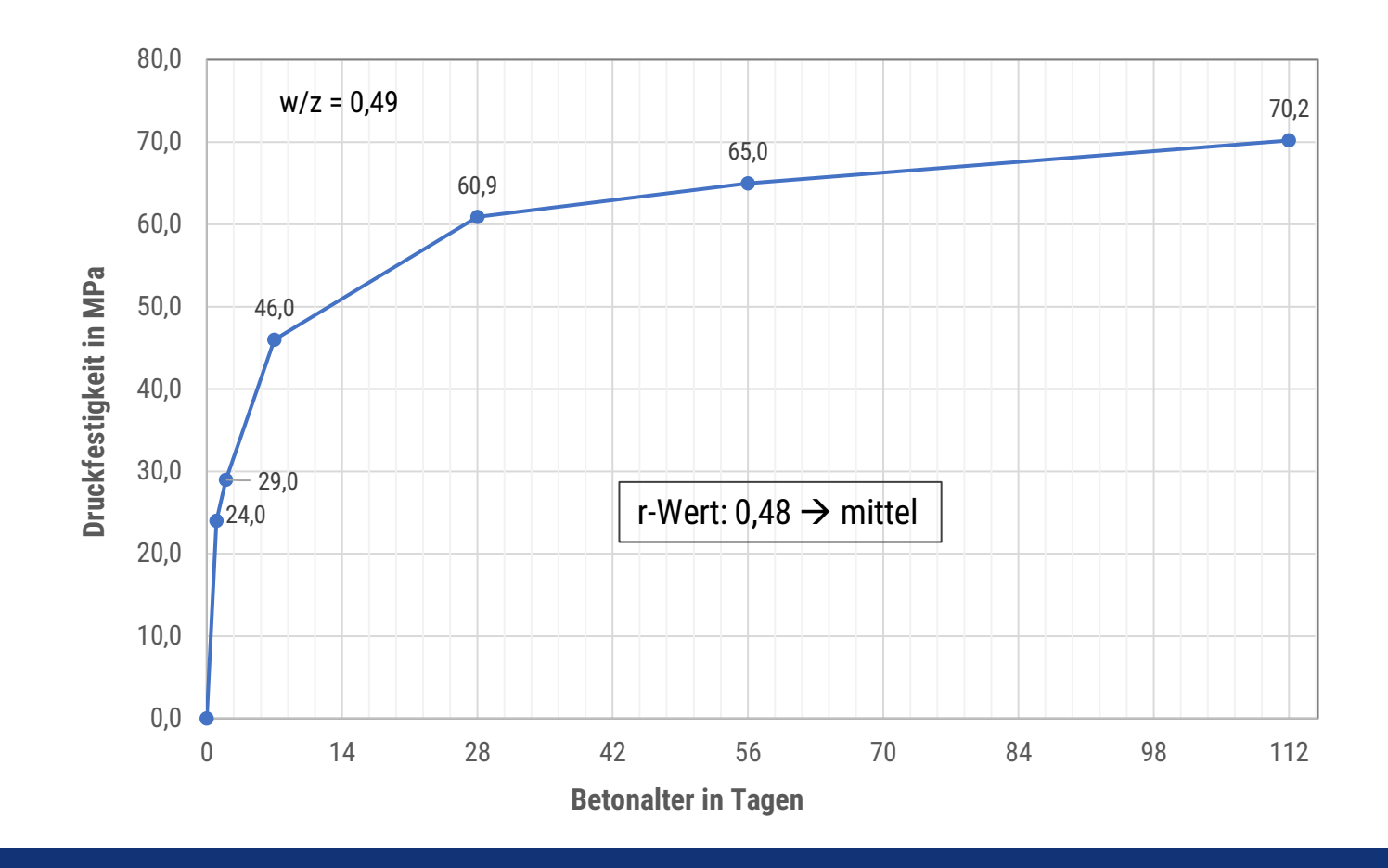






Druckfestigkeitsentwicklung

■ CEM III/B 42,5 N-LH/SR/NA (70 % HS)

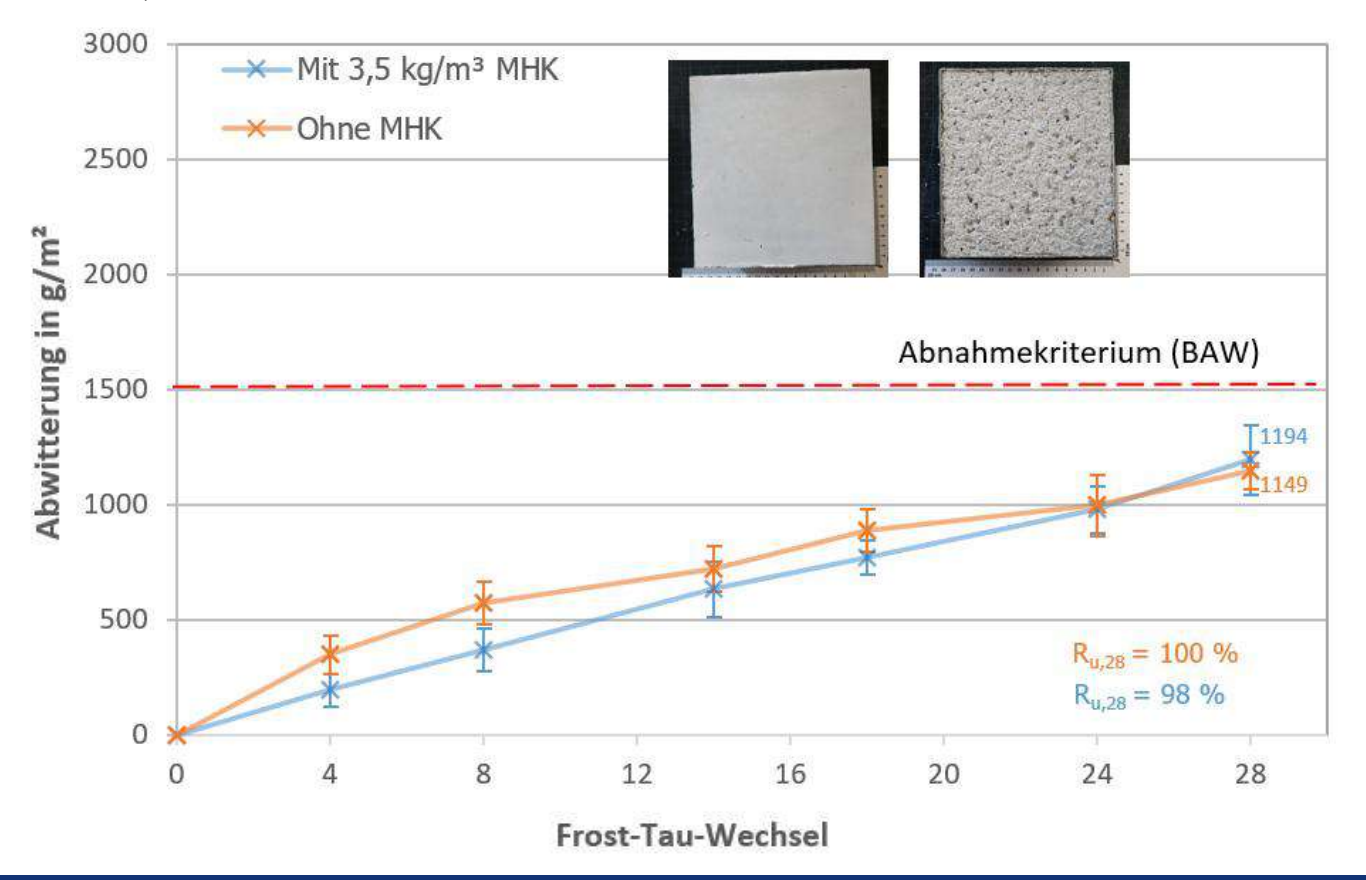






Frost-Tausalz-Widerstand

- Bereits nach 8 Zyklen deutliche Überschreitung des Abnahmekriteriums (trotz MHK)
- w/z = 0,49 und C50/60



Mikrohohlkugeln ohne Einfluss auf Frost-Tausalz-Widerstand
(→ Hüttensandgehalt: 70 Ma%)

- DIN 1045-2: XF4 mit $w/z \le 0.50$ und C30/37
- CEM III/B und XF4 (auf LP darf verzichtet werden):
 - a) Meerwasserbauteile: w/z ≤ 0,45 und C35/45
 - b) Räumerlaufbahnen w/z ≤ 0,35 und C40/50



variabler w/z in Abhängigkeit von Zementart

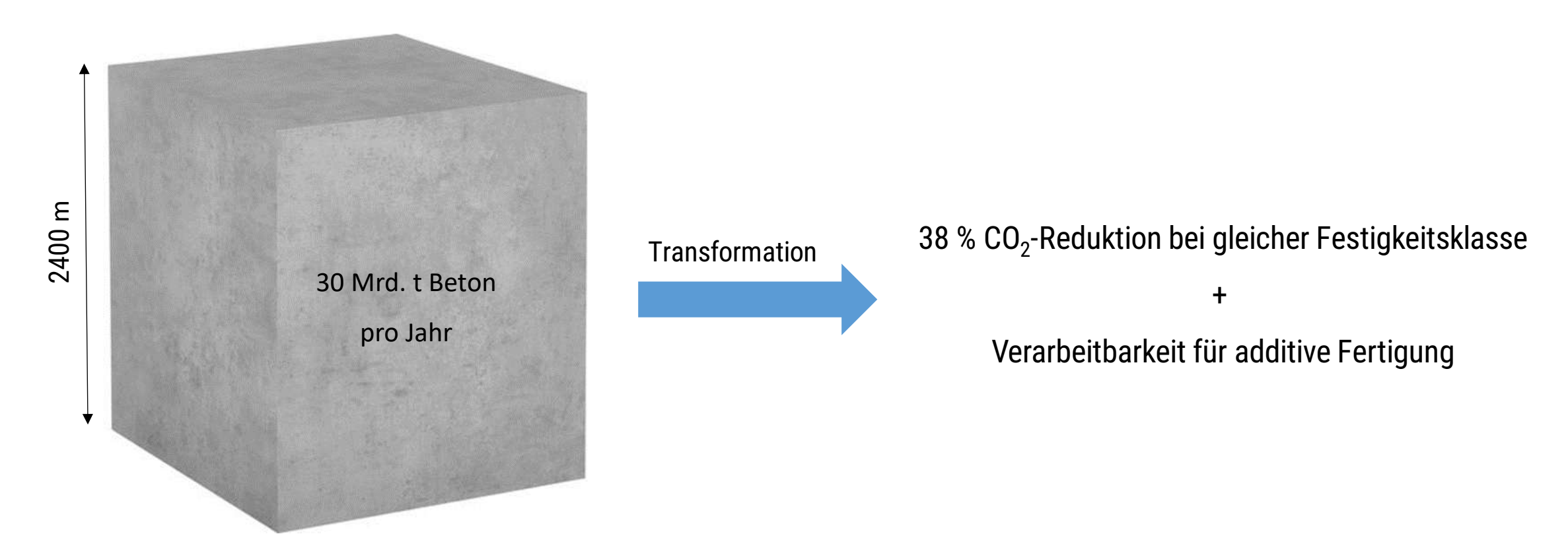
→ Verringerung w/z auf 0,42





THG-Emissionen Beton nach Leistungsfähigkeit

- Je nach Festigkeitsklasse zwischen 180 kg/m³ (C20/25) bis 320 kg/m³ (C50/60)
- Additive Fertigung mit CEM III/B (C50/60): ca. 200 kg/m³







Neues Zentrum für additive Betonfertigteilherstellung des Steinbeis-Innovationszentrums FiberCrete





